

FIG. 1A  
PRIOR ART

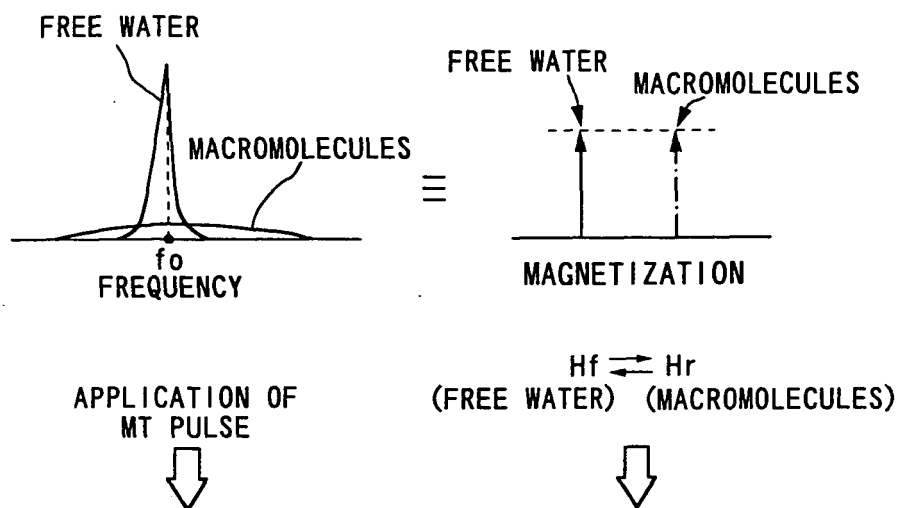


FIG. 1A  
PRIOR ART

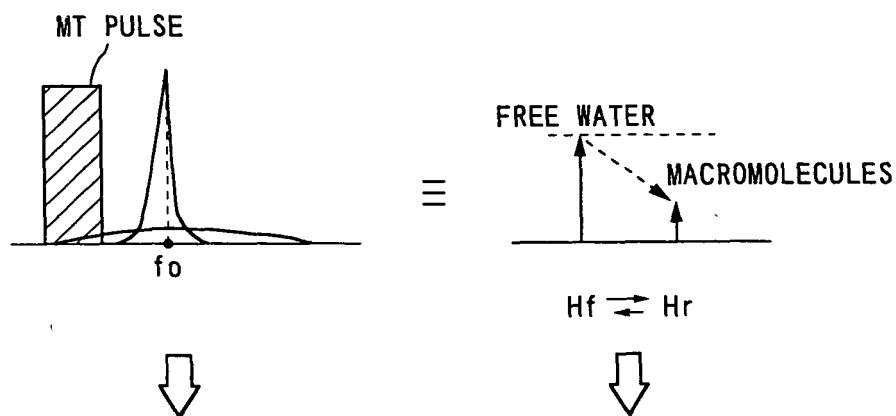
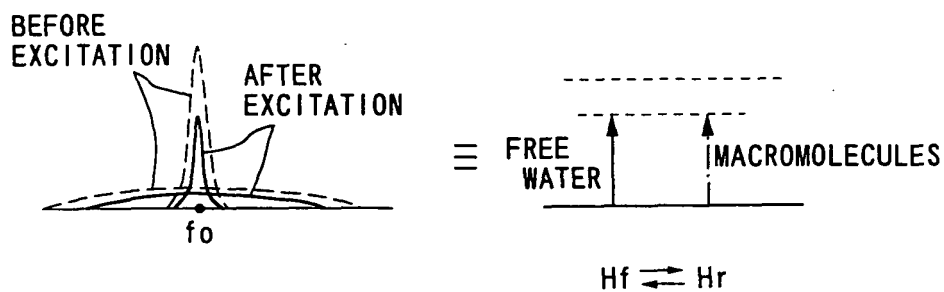


FIG. 1A  
PRIOR ART



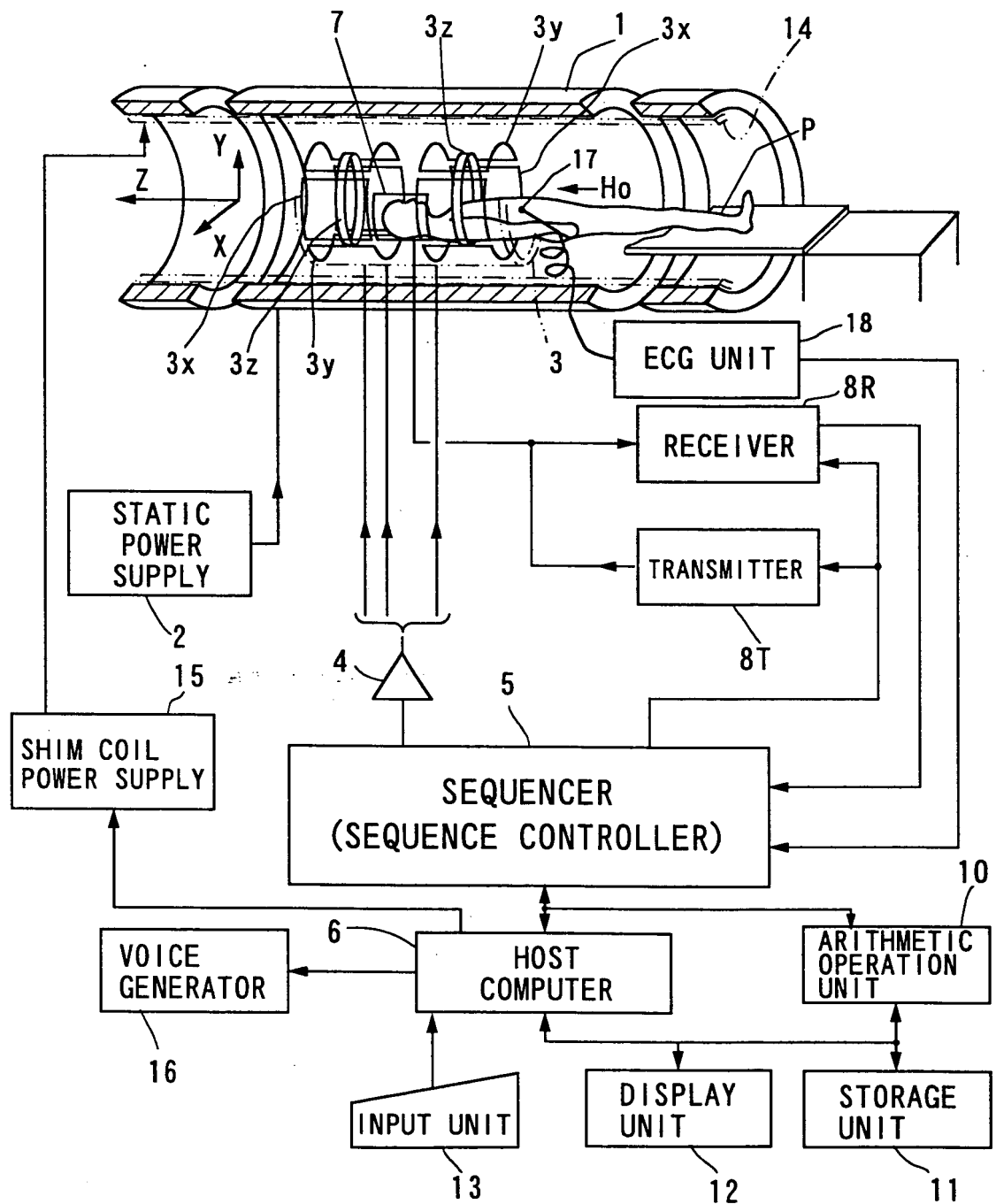


FIG. 2

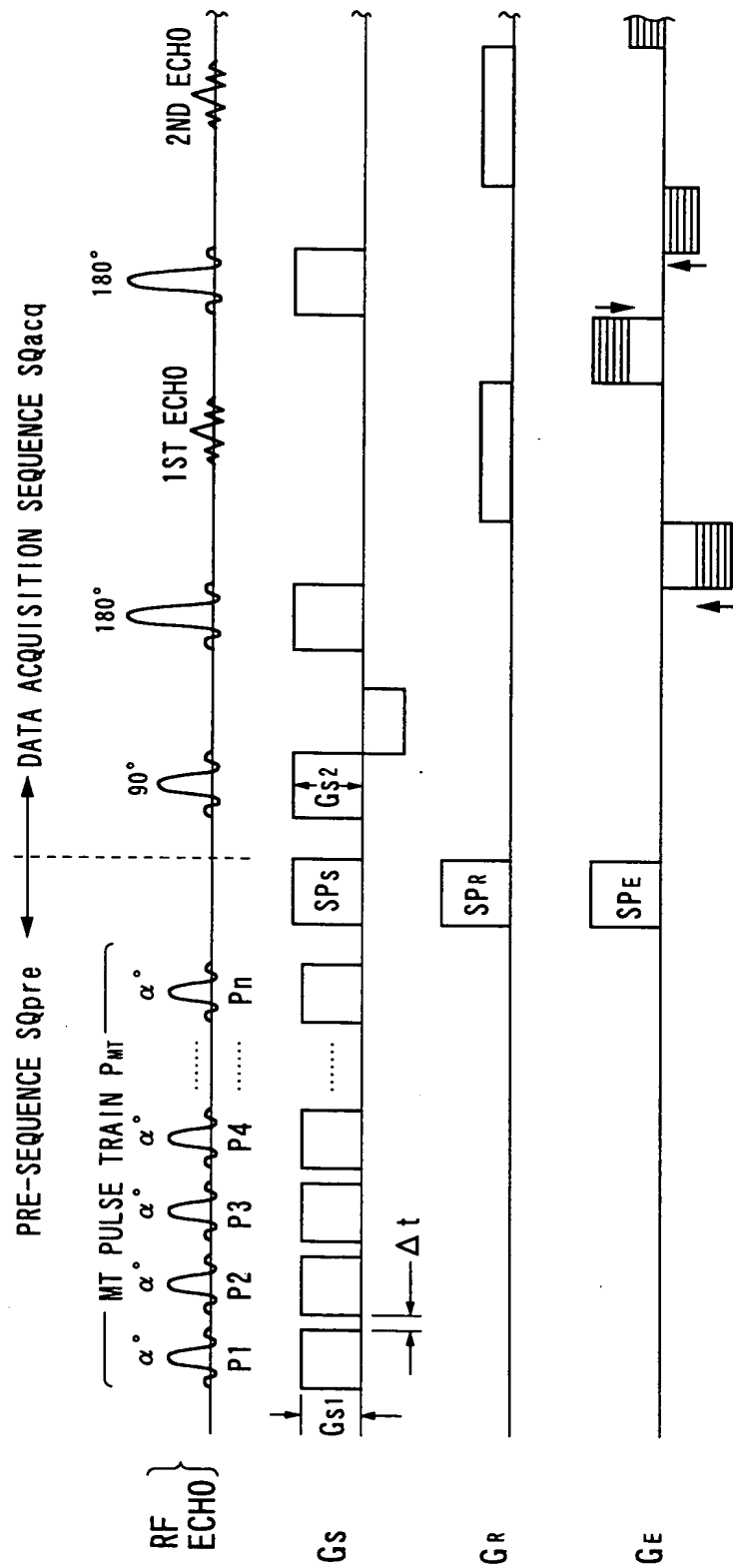


FIG. 3

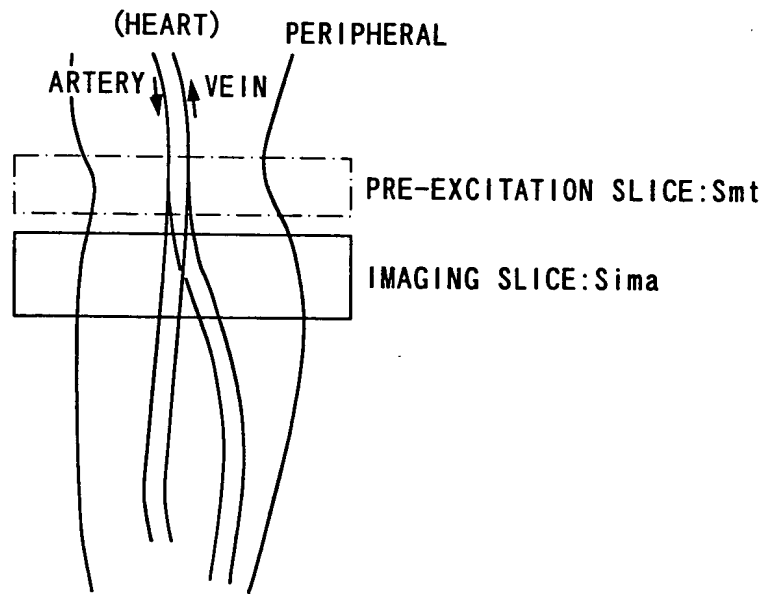


FIG. 4A

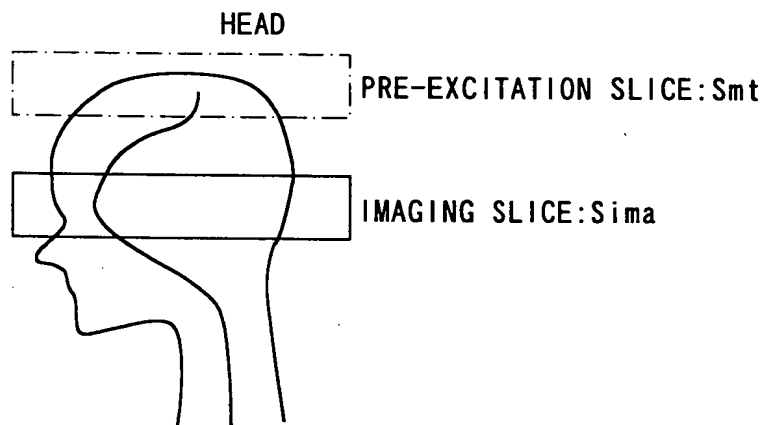


FIG. 4B

A·B SPINS

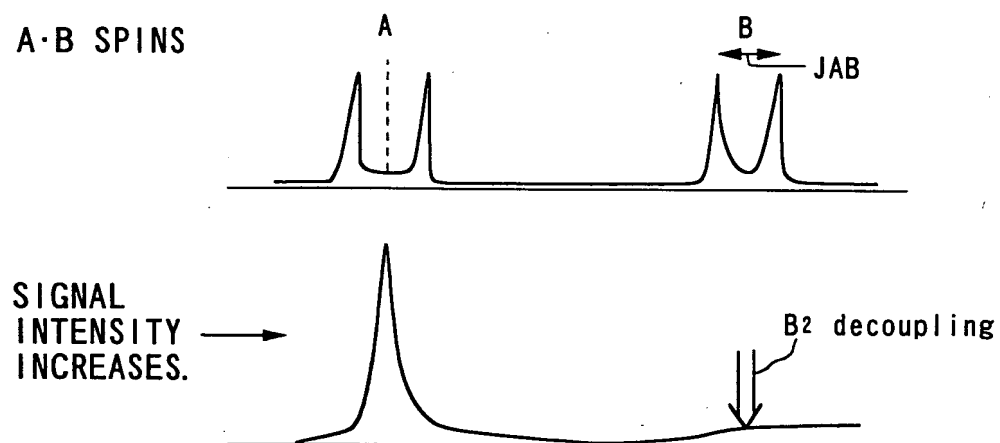
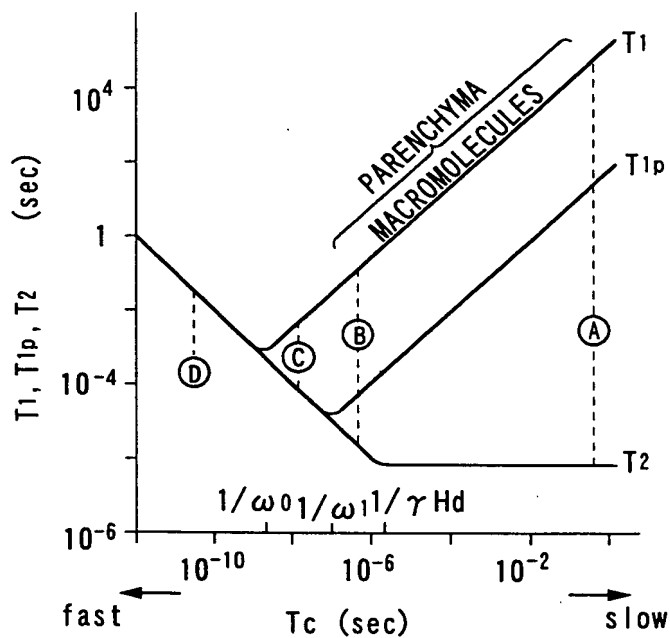


FIG. 5



$T_c$ -DEPENDENCY OF  $T_1, T_2$  AND  $T_c$

- Ⓐ HARD SOLID
- Ⓑ SOFT SOLID
- Ⓒ HIGH-VISCOSITY LIQUID
- Ⓓ NORMAL LIQUID

FIG. 6

FIG. 7A

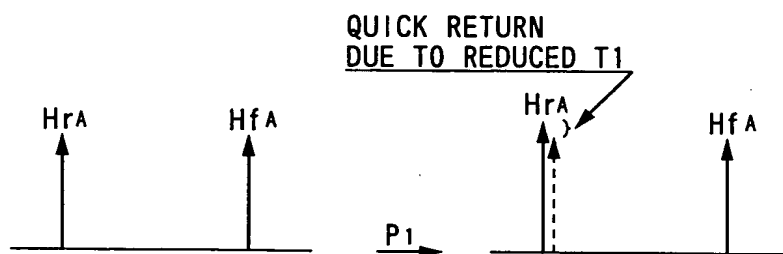


FIG. 7B

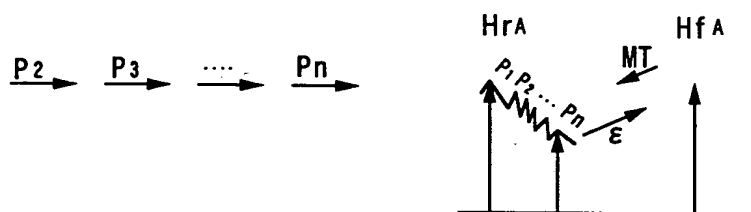


FIG. 7C

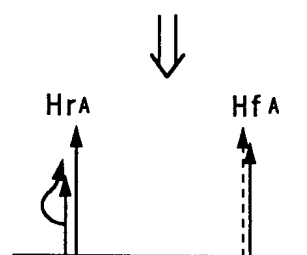


FIG. 7D

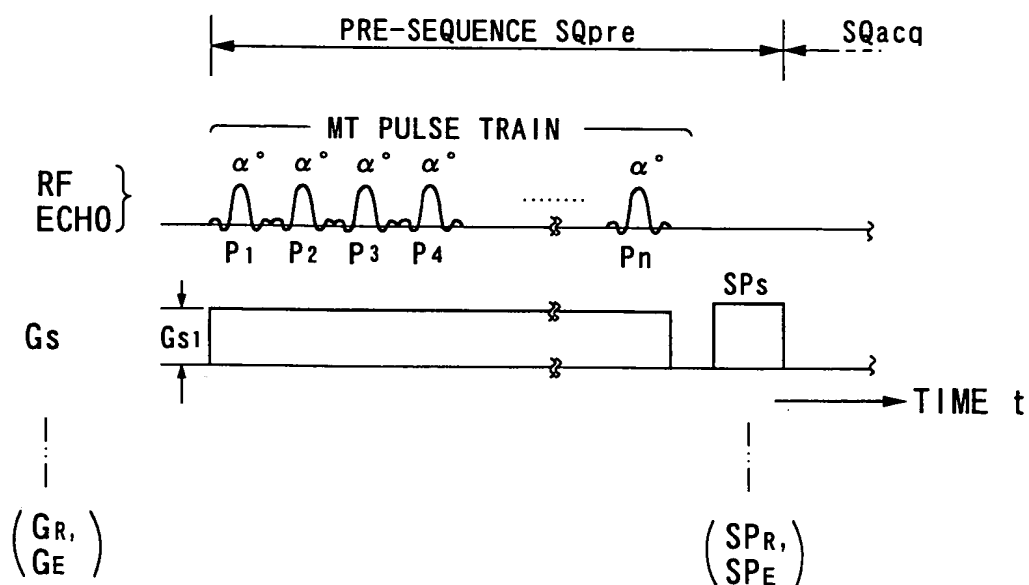


FIG. 8

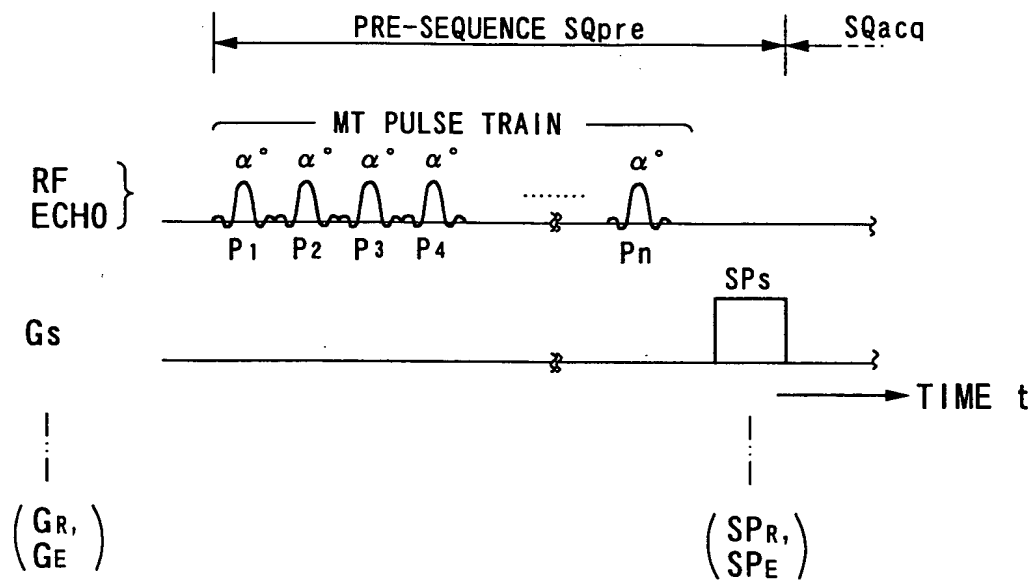


FIG. 9

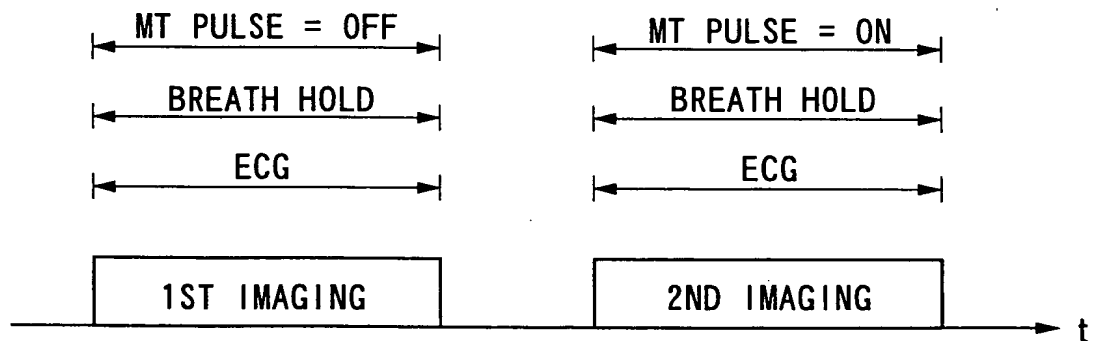


FIG. 10

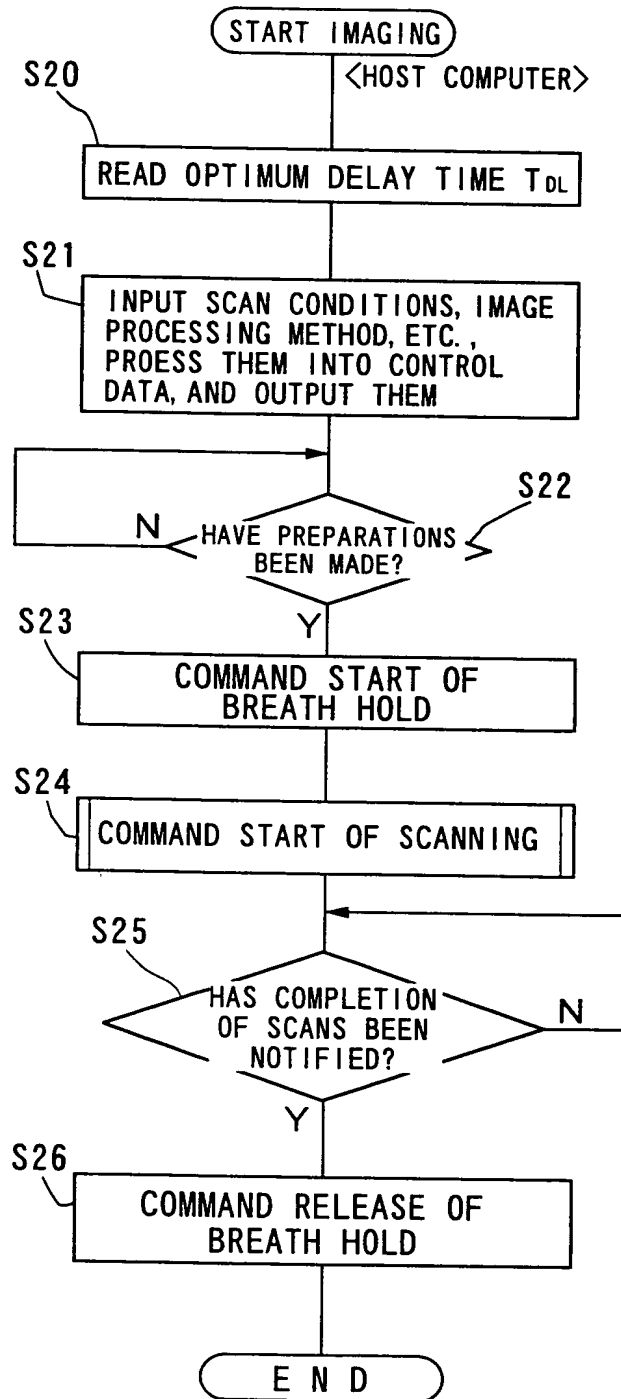


FIG. 11



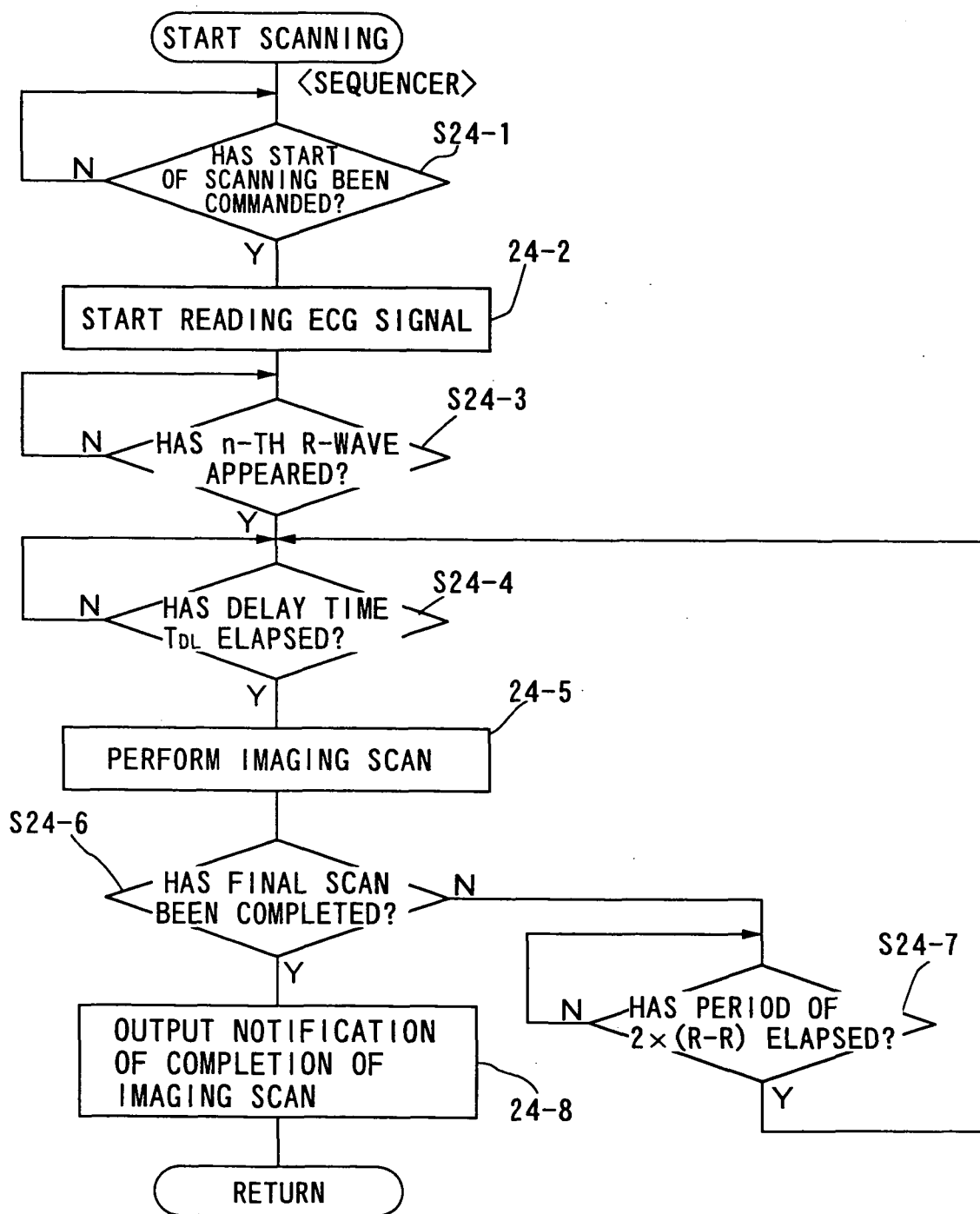
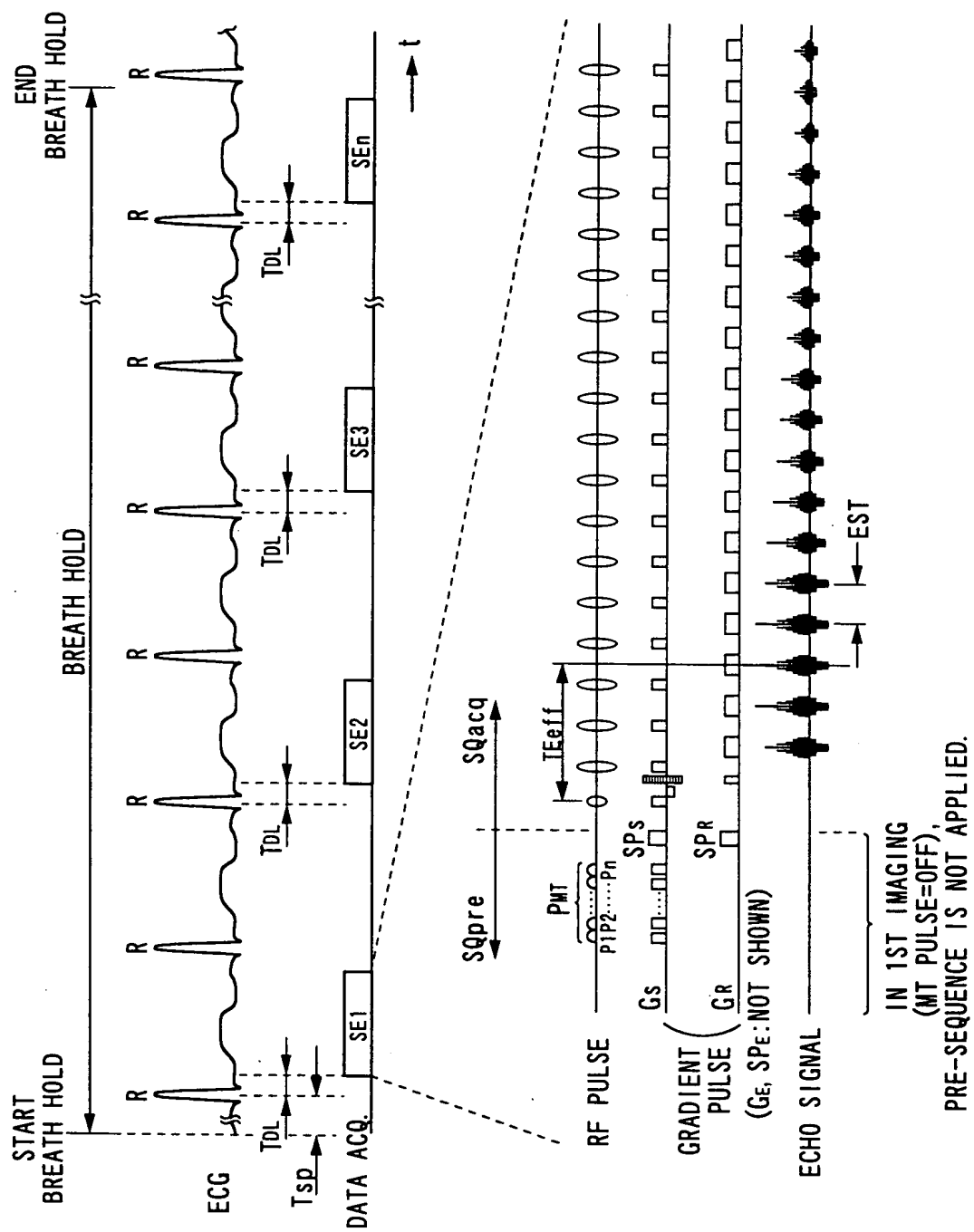


FIG. 12



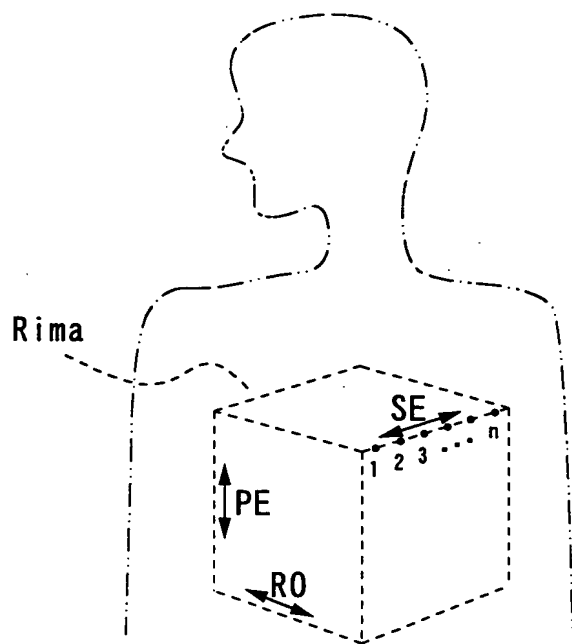


FIG. 14

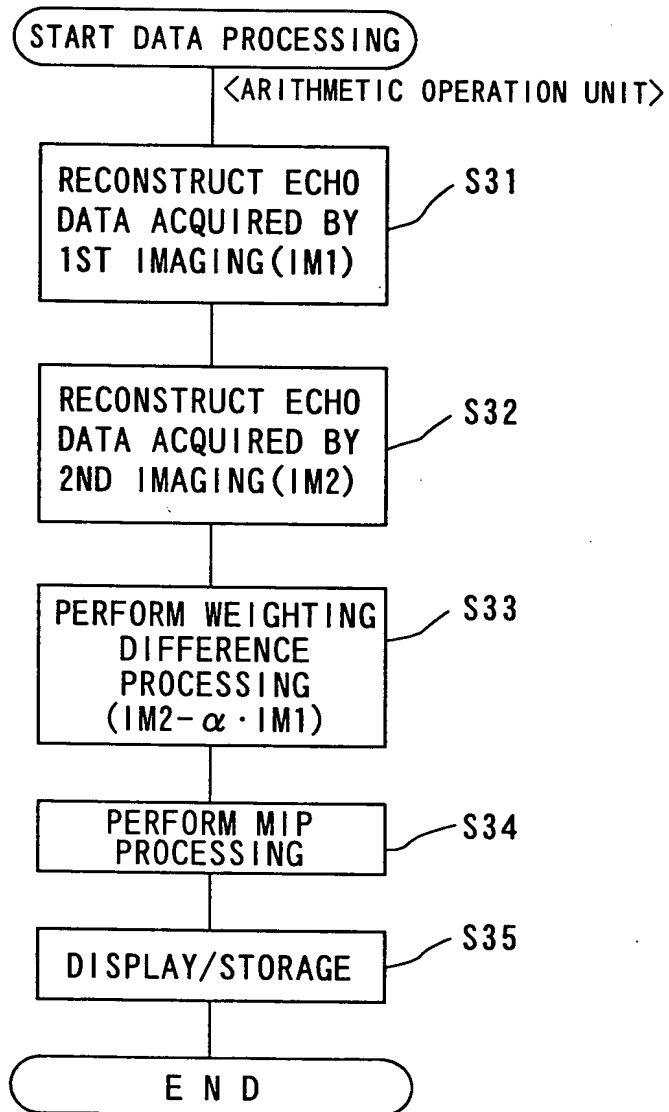
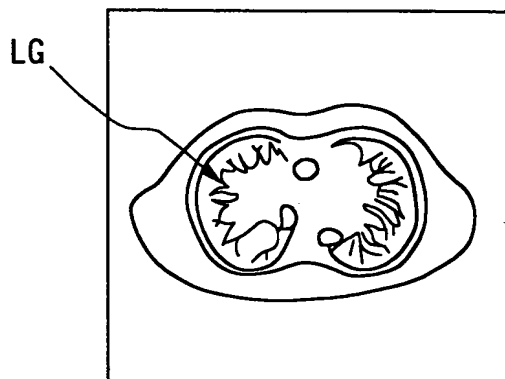


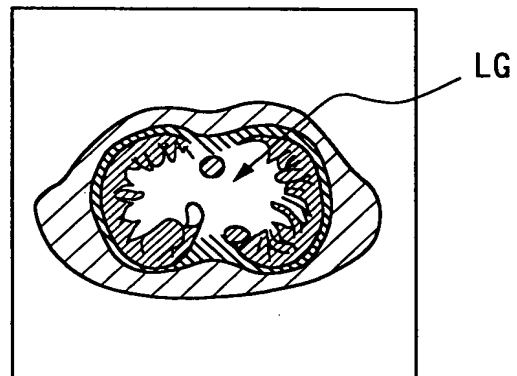
FIG. 15

FIG. 16A



IM1  
(MT PULSE=OFF)

FIG. 16B



IM2  
(MT PULSE=ON)

$$IM2 - \alpha \cdot IM1$$



IM3

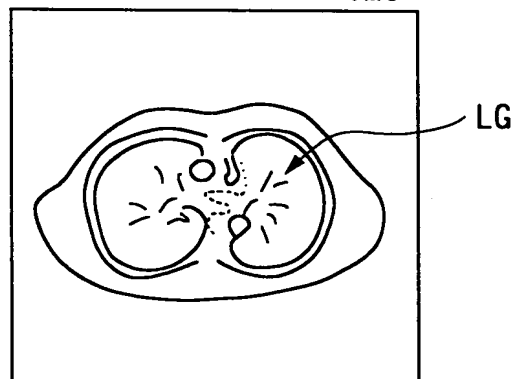


FIG. 16C

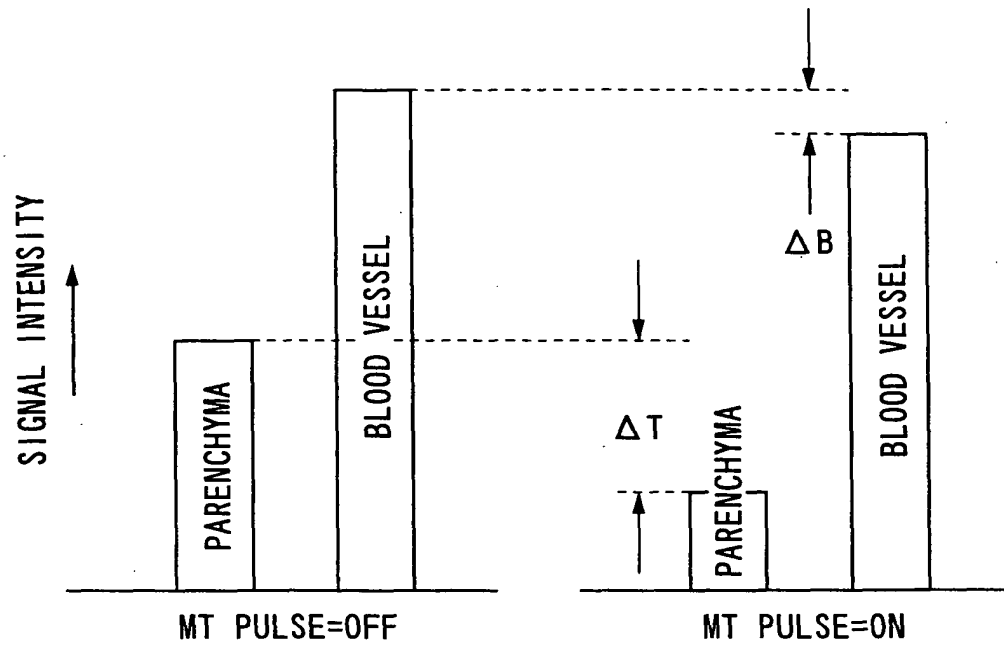


FIG. 17A

FIG. 17B

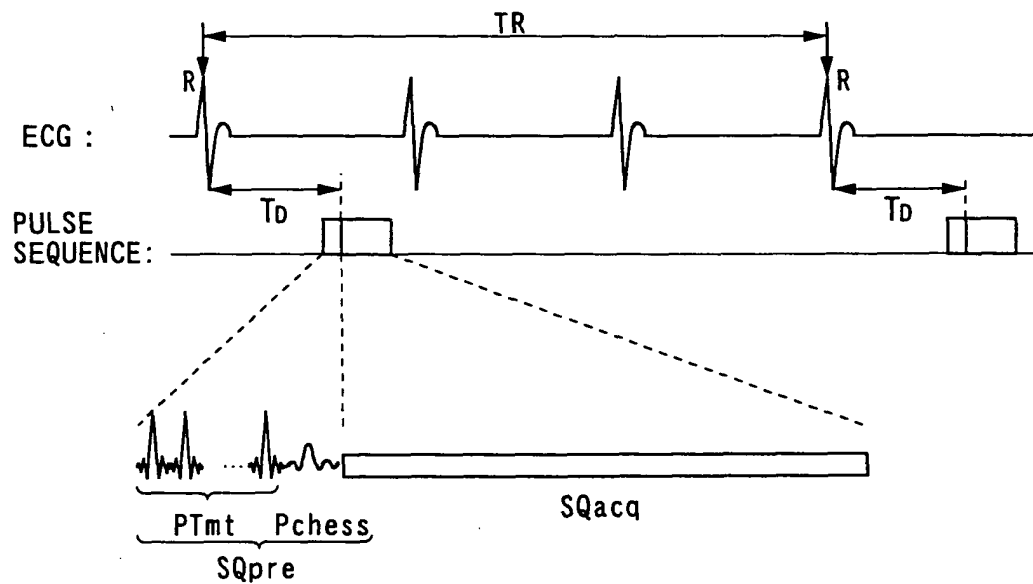


FIG. 18

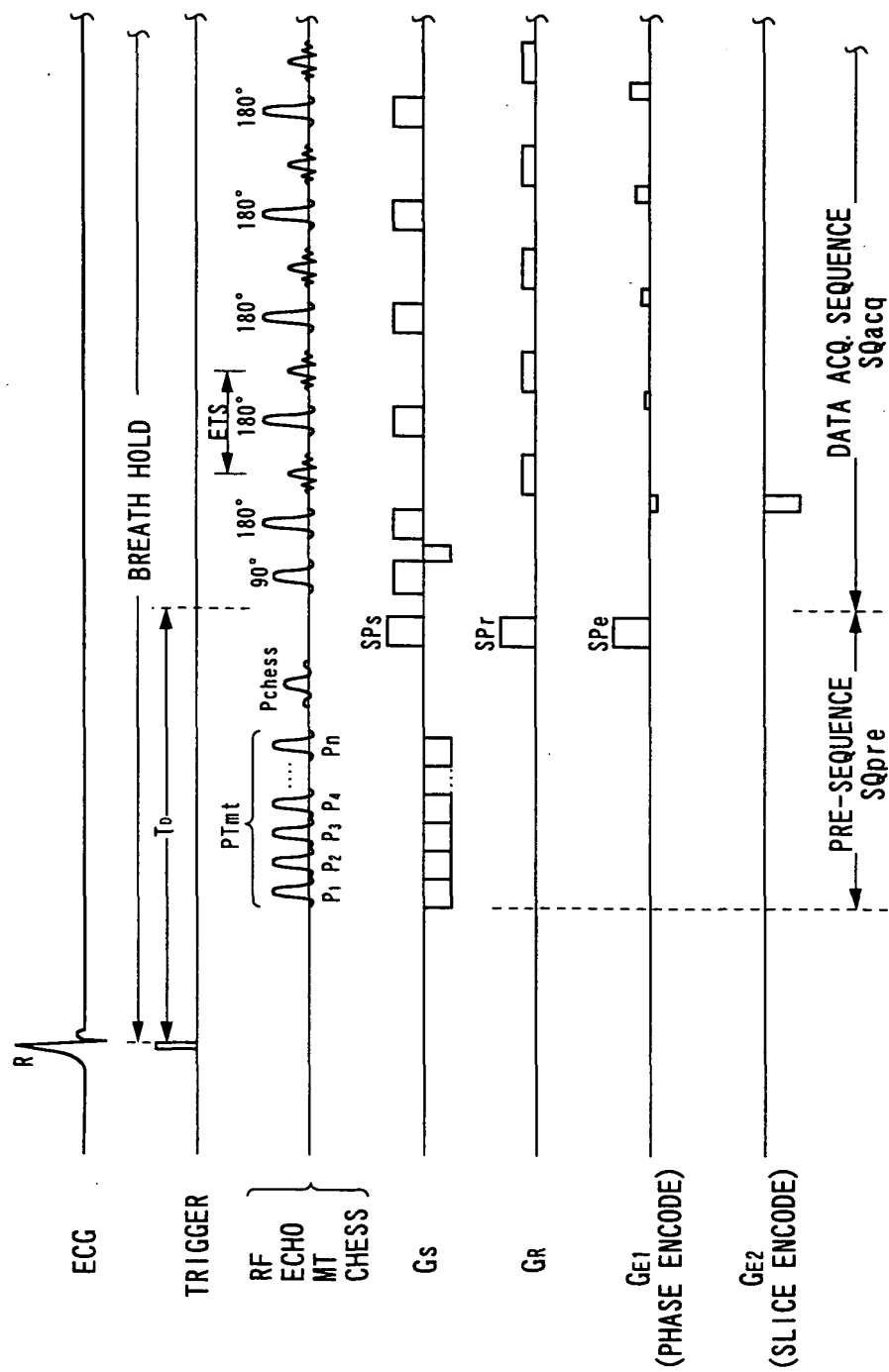


FIG. 19

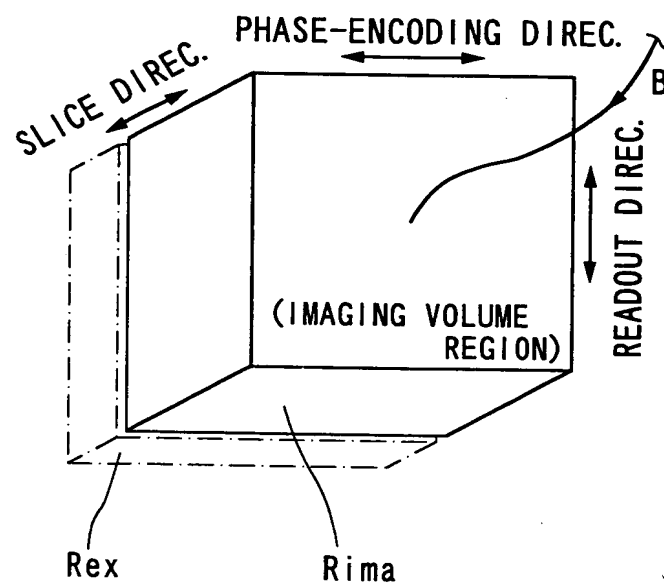


FIG. 20



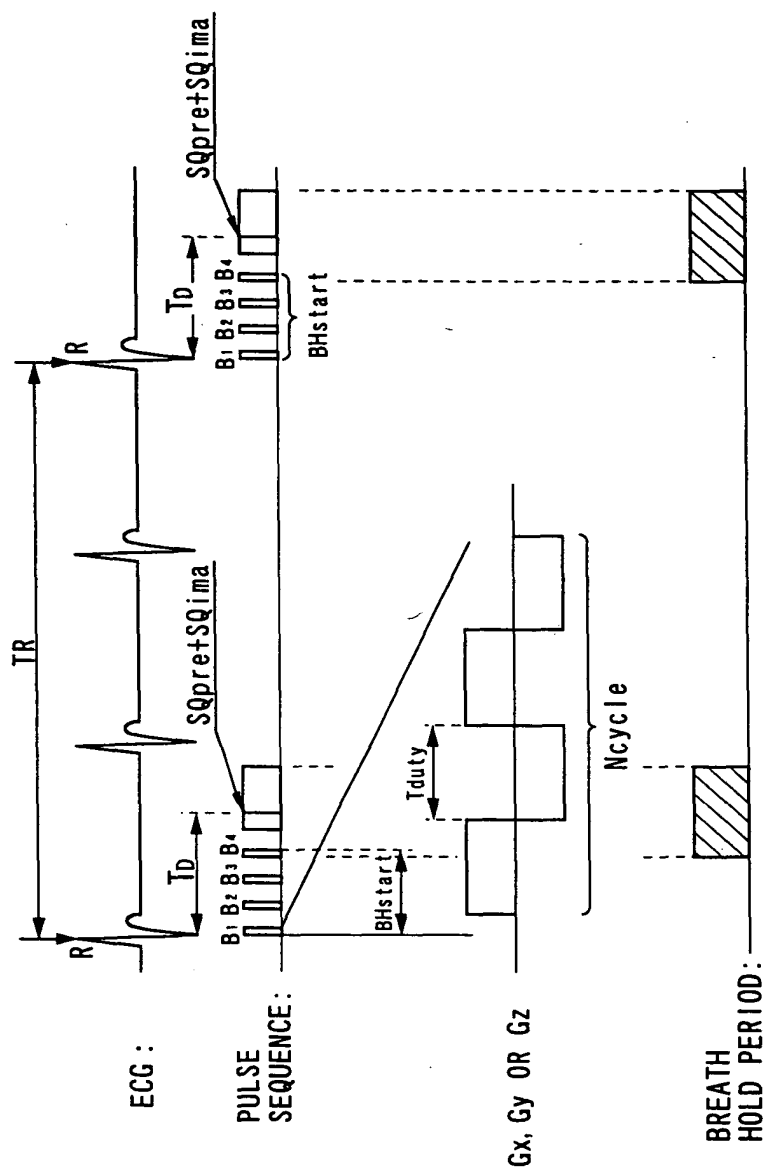


FIG. 21

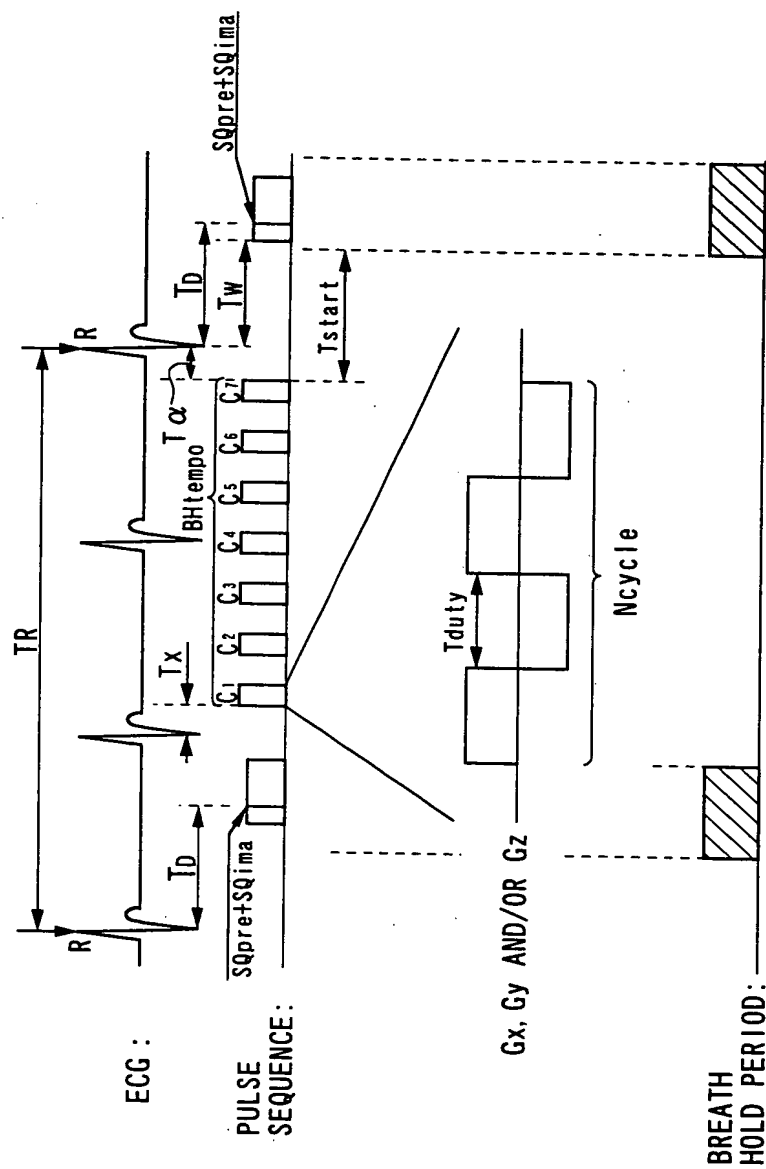


FIG. 22

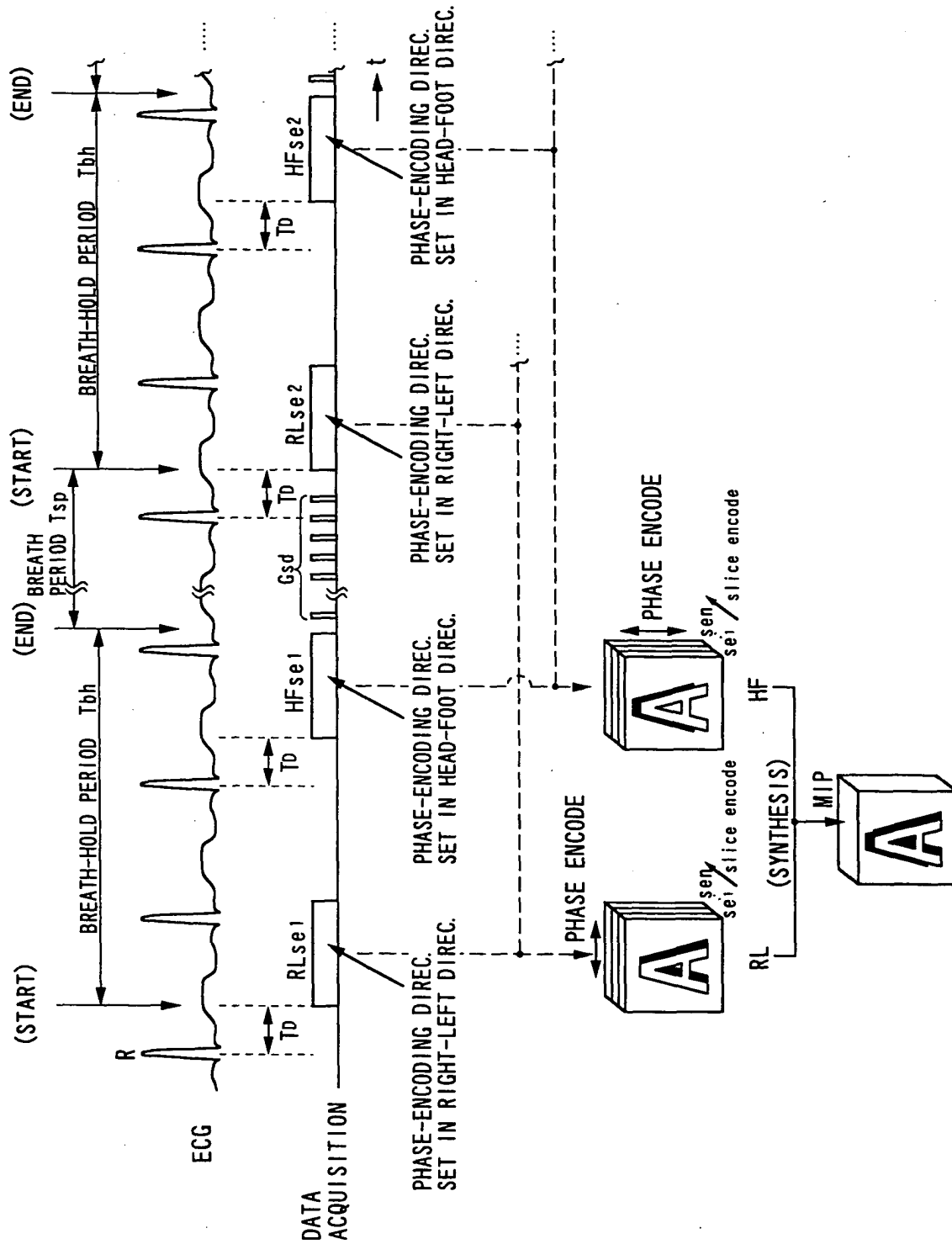


FIG. 23

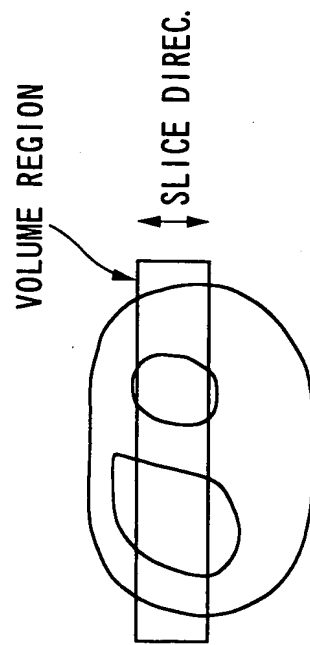


FIG. 24A

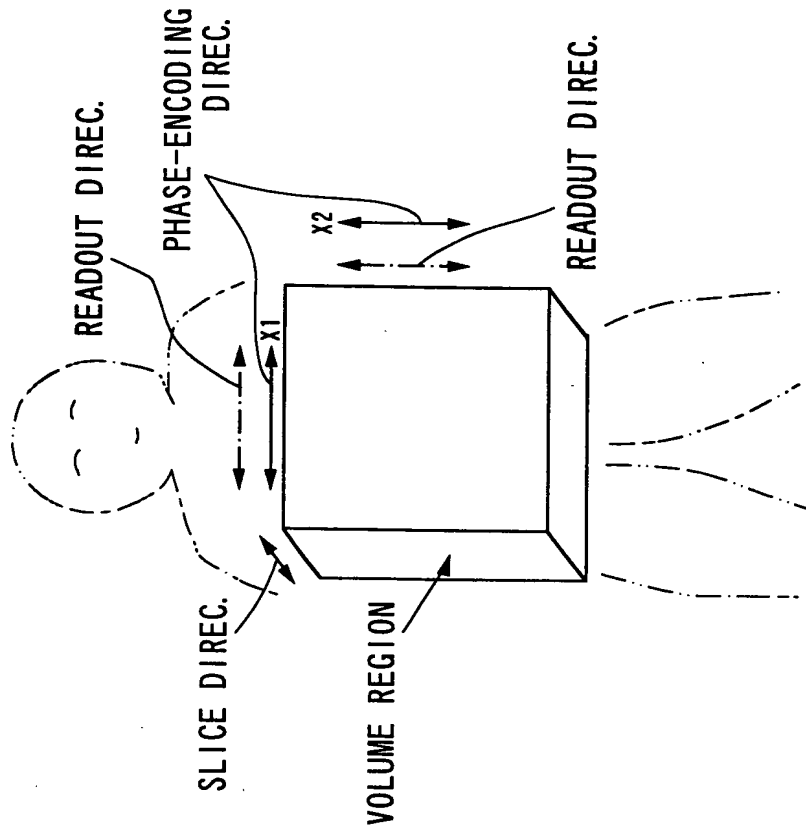


FIG. 24B

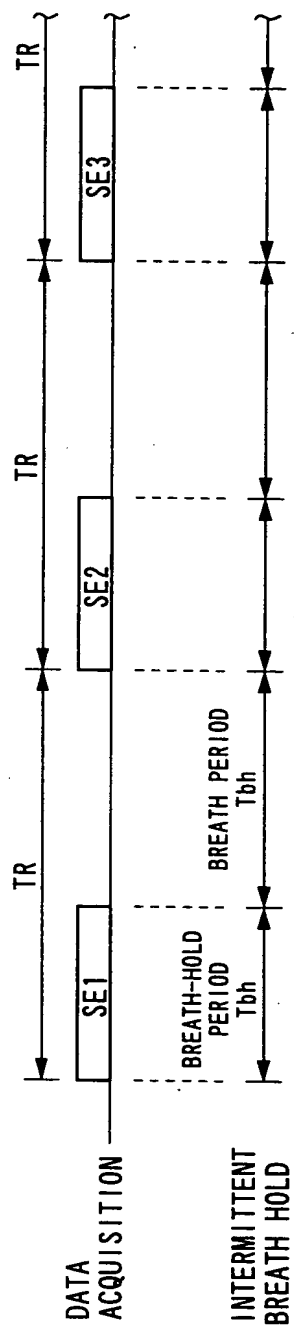


FIG. 25